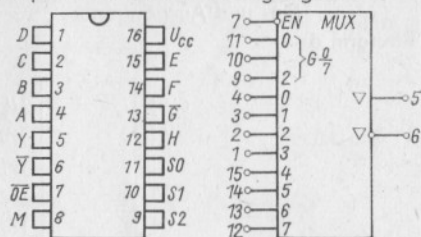
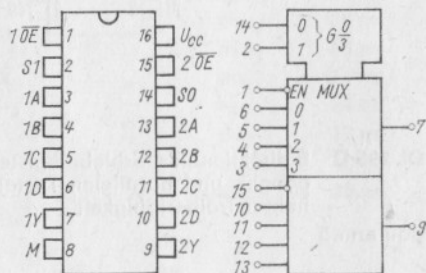


DL 251 D 8- auf 1-Multiplexer mit Tristate-Ausgängen

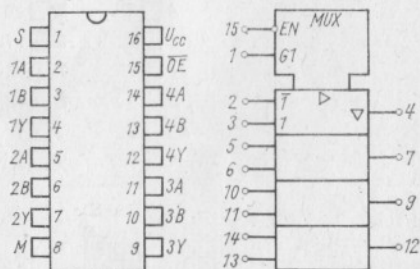
Bauform 6

**DL 253 D** Zweifach 4- auf 1-Multiplexer mit Tristate-Ausgängen

Bauform 6

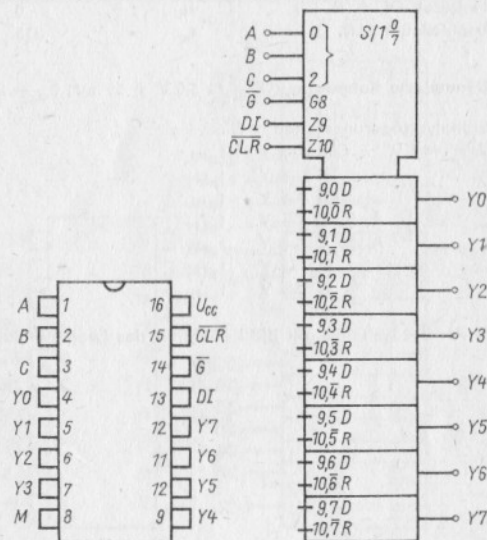
**DL 257 D** Vierfach 2- auf 1-Multiplexer

Bauform 6



Adressierbares 8 bit Latch mit Enable und Clear

Bauform 6



Anschlußbelegung

- 1 Adresseingang
- 2 Adresseingang
- 3 Adresseingang
- 4 Ausgang
- 5 Ausgang
- 6 Ausgang
- 7 Ausgang
- 8 Masse

- 9 Ausgang
- 10 Ausgang
- 11 Ausgang
- 12 Ausgang
- 13 Dateneingang
- 14 Enable-Eingang
- 15 Clear-Eingang
- 16 Betriebsspannung

Betriebsbedingungen

| | | min | max |
|-----------------------------------------------|----------|-----|-----|
| Voreinstellzeit | t_{su} | | |
| DI, A, B, C ¹⁾ | | 15 | ns |
| Haltezeit DI, A, B, C ¹⁾ | t_h | 0 | ns |
| Impulsdauer \overline{CLR} , \overline{G} | t_w | 15 | ns |

Dynamische Kennwerte ($U_{CC} = 5,0 \text{ V} \pm 55 \text{ mV}$; $\vartheta_a = 25^\circ \text{C} - 5 \text{ K}$)

Signalverzögerungszeiten

| $U_{CC} = 5 \text{ V}$ | Signal | Parameter | Value |
|------------------------|--------------------------------|-----------|-------|
| | $\overline{CLR} \rightarrow Y$ | t_{pHL} | 27 ns |
| | DI $\rightarrow Y$ | t_{pLH} | 32 ns |
| | DI $\rightarrow Y$ | t_{pHL} | 21 ns |
| | A, B, C $\rightarrow Y$ | t_{pLH} | 38 ns |
| | A, B, C $\rightarrow Y$ | t_{pHL} | 29 ns |
| | $\overline{G} \rightarrow Y$ | t_{pLH} | 35 ns |
| | $\overline{G} \rightarrow Y$ | t_{pHL} | 24 ns |

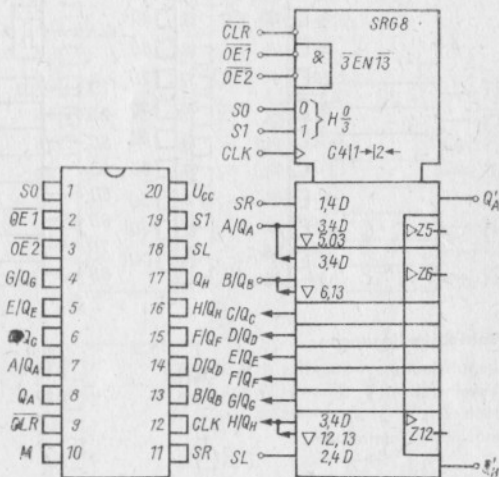
¹⁾ Als Bezugsflanke gilt die L-H-Flanke des Enable-Impulses

DL 299 D

8-bit-Universalschieberegister,

mit dem die Betriebsarten Einschreiben, Speichern, Links- bzw. Rechtsschieben sowie Rücksetzen realisiert werden können.

Bauform 9



Dynamische Kennwerte ($U_{CC} = 5 \text{ V} \pm 0,55 \text{ mV}$; $\vartheta_a = 25^\circ \text{C} - 5 \text{ K}$)

Signalverzögerungszeiten

| | | |
|---------------------------------|-----------|-------|
| $\overline{CLR} \rightarrow Q'$ | t_{pLH} | 33 ns |
| $\overline{CLR} \rightarrow Q'$ | t_{pHL} | 33 ns |
| $\overline{CLR} \rightarrow Q$ | t_{pHL} | 40 ns |
| $\overline{CLR} \rightarrow Q$ | t_{pLH} | 25 ns |
| $\overline{CLR} \rightarrow Q$ | t_{pHL} | 39 ns |
| $\overline{CLR} \rightarrow Q$ | t_{pHL} | 40 ns |
| $\overline{OE} \rightarrow Q$ | t_{pZL} | 30 ns |
| | t_{pHZ} | 15 ns |
| | t_{pLZ} | 15 ns |